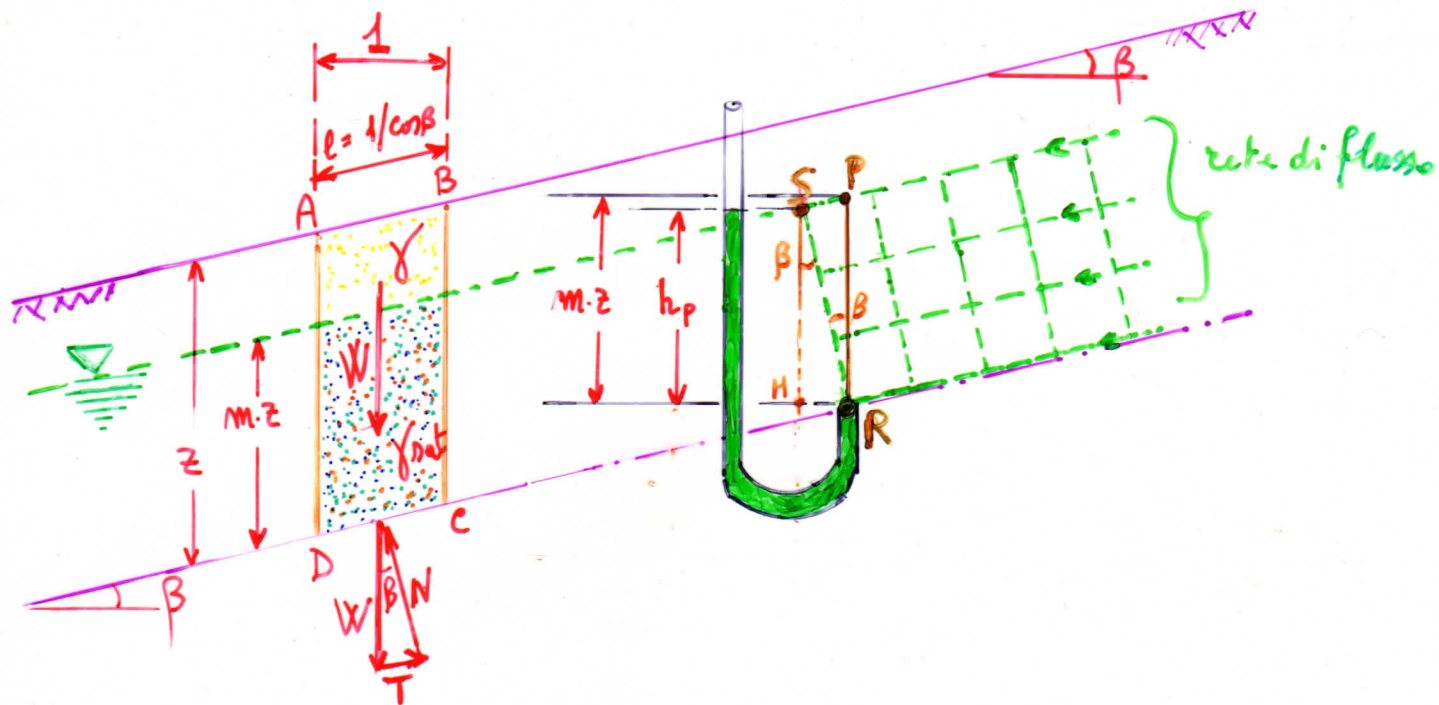


ANALISI DELLA STABILITÀ PER FILTRAZIONE PARALLELA AL PENDIO

Si consideri un pendio uniforme d'inclinazione β ed un piano di potenziale scorrimento parallelo al pendio ed a profondità z . La superficie di falda sia parallela al pendio e ad altezza $m \cdot z$ ($0 \leq m \leq 1$) rispetto al piano di scorrimento.



In termini di sforzi effettivi, la resistenza al taglio del terreno lungo il piano di scorrimento è

$$\tau_f = c' + (\sigma - u) \tan \phi' \quad 1)$$

Mentre, in condizioni non franeanti si ha $\phi_u = 0$, quindi

$$\tau_f = cu \quad (\phi_u = 0) \quad 1')$$

Il fattore di sicurezza è dato da

$$F = \frac{\tau_f}{\tau_m} = \frac{\tau_f}{\tau} \quad 2)$$

La pressione interstiziale in un generico punto R del piano di scorrimento è data da:

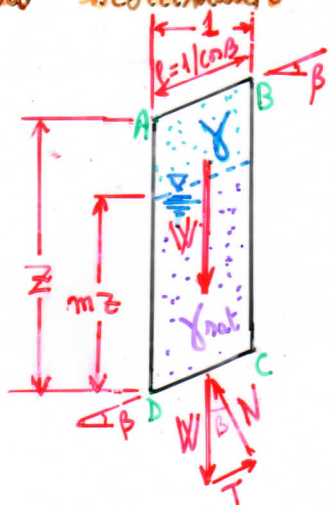
$$u = \gamma_w \cdot h_p = \gamma_w \cdot m z \cos^2 \beta \quad 3)$$

Dell'equilibrio del concio ABCD lungo il piano di scorrimento e perpendicolarmente ad esso:

$$4) \quad N = W \cos \beta \quad e \quad T = W \sin \beta,$$

essendo il peso del concio di spessore unitario anche nella direzione del fondo.

$$5) \quad W = (z - mz) \gamma + mz \gamma_{sat} = [(1-m)\gamma + m\gamma_{sat}]z$$



$$\therefore c' = \frac{N}{l} = \frac{W \cos \beta}{l / \cos \beta} = [(1-m)\gamma + m\gamma_{sat}] z \cos^2 \beta \quad 6)$$

$$\tau = \frac{T}{l} = \frac{W \sin \beta}{l / \cos \beta} = [(1-m)\gamma + m\gamma_{sat}] z \sin \beta \cos \beta \quad 7)$$

da cui, nel caso generale di un terreno $c' - \phi'$,

$$F = \frac{\tau_f}{\tau} = \frac{c' + (c' - u) \tan \phi'}{\tau} = \frac{c' + [(1-m)\gamma + m\gamma'] z \cos^2 \beta \tan \phi'}{[(1-m)\gamma + m\gamma_{sat}] z \sin \beta \cos \beta} \quad 8)$$

Sarà $\gamma' = \gamma_{sat} - \gamma_w$

In queste si presenti effetti di capillari, si può assumere

$$\gamma_{sat} \approx \gamma$$

e le eqg. 6) e 7) divengono:

$$c = \gamma z \cos^2 \beta \quad 6')$$

$$T = \gamma z \sin \beta \cos \beta \quad 7')$$

$$T_f = c' + (\sigma - u) \tan \phi'$$



$$F = \frac{T_f}{T} = \frac{c' + (\gamma - m\gamma_w) z \cos^2 \beta \tan \phi'}{\gamma z \sin \beta \cos \beta} \quad 8')$$

mentre, per la emulsione $\phi_u = 0$,

$$T_f = cu, \phi_u = 0$$

$$F = \frac{T_f}{T} = \frac{cu}{\gamma z \sin \beta \cos \beta} \quad 8'')$$

CASI PARTICOLARI

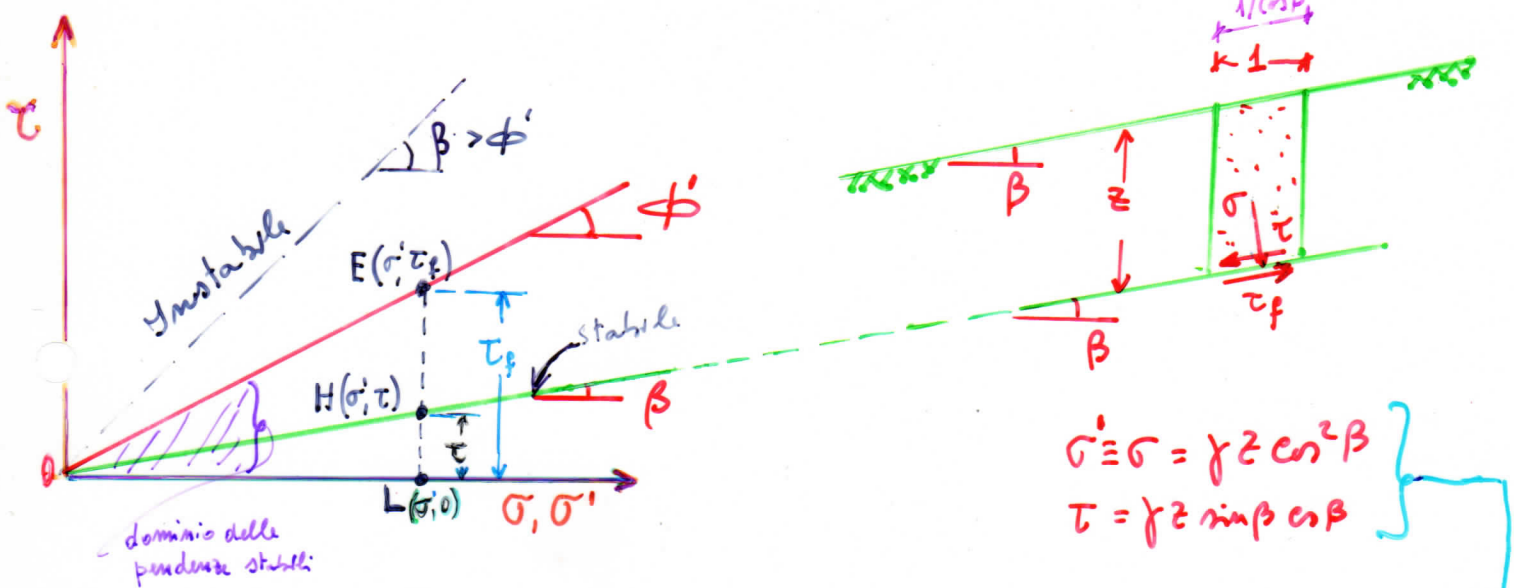
A) Teniamo attivato ($c' = 0$). L'eq. 8''). sub:

$$F = \frac{(\gamma - m\gamma_w)}{\gamma} \frac{\tan \phi'}{\tan \beta} \quad 9)$$

In questa formula non compare la profondità z del piano di svernamento, per cui la rottura può realizzarsi a qualsiasi profondità. In realtà, il materiale che si muove è un colloidal di piccole spensioni in conseguenza di un piccolo aumento, con la profondità, dell'angolo ϕ' e con l'espansione del fondo per peso specifico o di minore degradazione del terreno medesimo.

a) Torniamo allo stato secco o un falso molto profondo.
Esempio $m=0$,

$$F = \frac{\tan \phi'}{\tan \beta} \quad (10)$$



$$F = \frac{\tau_f}{\tau} = \frac{EL}{HL} = \frac{\tan \phi'}{\tan \beta} > 1$$

Perciò, se $\beta < \phi'$, non viene raggiunto nessun stato critico di sollecitazione a qualunque profondità ed il pendolo è stabile. L'instabilità viene raggiunta allorché $\beta = \phi'$.

σ' = tensioni in un punto su di un piano \parallel al fondo.

Riportando queste tensioni in un piano σ, τ , poiché $\tau/\sigma = \tan \beta$, il punto $H(\sigma, \tau)$ viene a trovarsi su di una retta formante l'angolo β con l'asse dell' σ .

Perciò il pendolo sarà stabile, tale essere $\beta < \phi'$.

ANGLE OF REPOSE OF SANDS

If we were to deposit a granular soil by pouring it from a single point above the ground, it would form a conical pile. As more and more granular material was deposited on the pile, the slope for a short period of time might appear to be steeper, but then the soil particles would slip and slide down the slope to the angle of repose (Fig. 12.1). This angle of the slope with respect to the horizontal plane would remain constant at some minimum value. Since this angle is the steepest stable slope for very loosely packed sand, the angle of repose represents the angle of internal friction of the granular material at its loosest state.

Sand dunes are an example from nature of the angle of repose. You may recall from Sec. 3.3.6 that sand dunes are landforms resulting from wind as a geologic process. Figure 12.2 shows how both a stationary dune (SD) and a migrating dune (MD) are formed. On the leeward side (LS), the slope of the dune will have an angle (of repose) which varies from 30° to 35° , depending on factors discussed later in this chapter. If the slope on the leeward side becomes steeper than 30° to 35° , then the slope is unstable and sand grains will roll down the slope until the angle of repose is reached. An unstable condition is shown on the slope at the far right-hand side of Fig. 12.2; eventually a smooth slope at the angle of repose will form.

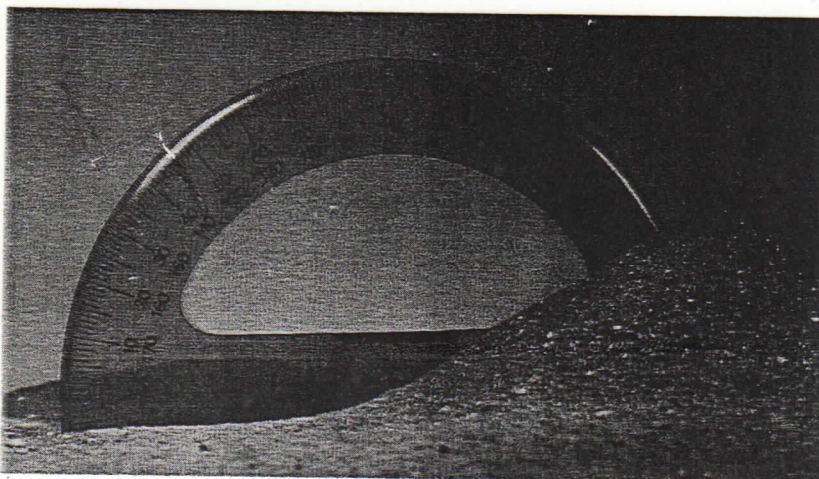


FIGURE 12.1 Illustration of the angle of repose (photograph by M. Surrendra).

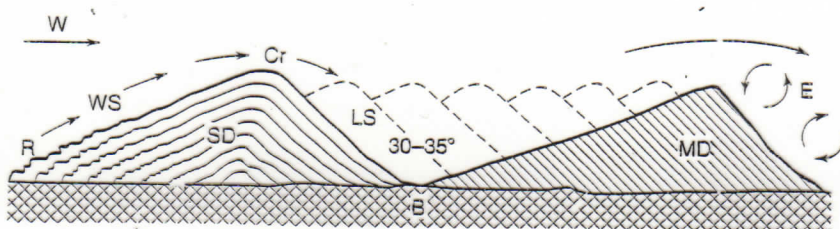


FIGURE 12.2 Formation of sand dunes and illustration of the angle of repose (after von Bandat, 1962). Deposition of sand by wind. Ideal structure of stationary or fixed dunes (SD) and migrating live dunes (MD). The arrows indicate the direction of air currents (W). E shows eddies. WS is the windward slope of the dune, LS the leeward, or down-wind slope. R mark ripples, and Cr is the crest of the dune. Dashed lines show the former positions of live dune MD. B is the base rock (after A. Holmes).

The angle of repose depends on the type of materials and other factors, and it represents the angle of internal friction or shearing resistance ϕ at its loosest state. Recall that the terms *loose* or *dense* are only relative terms (see Sec. 4.9), especially with respect to their behavior in shear. As we shall soon see, the stress-strain and volume change response depends on the confining pressure as well as on the index density. Note that in Section 5.5.1 we defined the relative density, D_r , sometimes referred to as the index density.

Determination of Coefficient of Friction

Since the values of coefficient of friction (μ) between the different materials (wood on wood or sand paper on sand paper) were not given, students first had to assess such values. As a result, a friction table was designed for this purpose. As shown in Figure 3, the table has a board that can be inclined by rotation about one axis. The upper surface of the inclined board is divided into zones with different grits of sand paper glued on. In order to assess the coefficient of friction between two surfaces, one would place a wooden block, with the appropriate surface (wood, fine or medium grit sand paper) on the similar surface on the inclined board and slowly raise the inclined board until the block starts to move. Once the block moves, the inclined board is locked in place and a measurement of the angle of inclination with the horizontal is made. A free body diagram of the forces acting on the wooden block is shown in Figure 4.

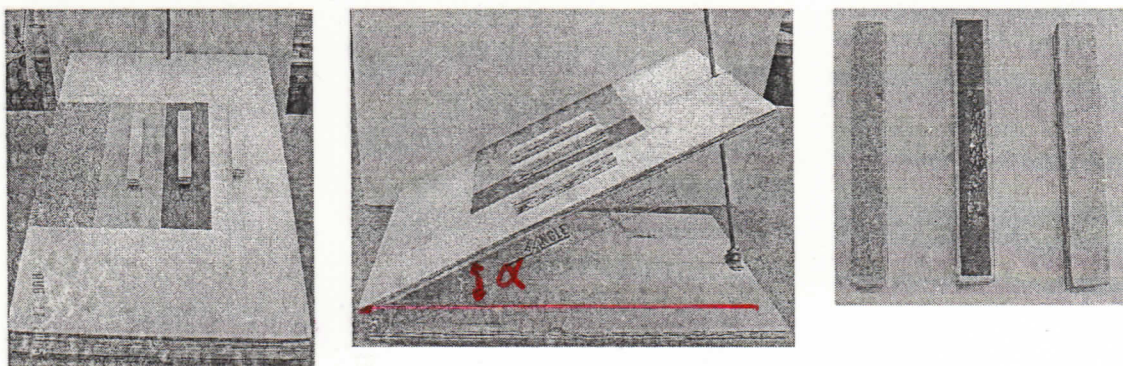


Figure 3. Friction table and sample blocks for coefficient of friction assessment

FOS = factor of safety

$$FOS = \frac{\text{Resisting force}}{\text{Driving Force}} = \frac{T_f}{T}$$

$$T_f = N\mu = N \tan \phi \quad \phi = \text{friction angle}$$

$$N = W \cos \alpha$$

$$T = W \sin \alpha$$

$$FOS = \frac{N \tan \phi}{T} = \frac{(W \cos \alpha) \tan \phi}{W \sin \alpha} = \frac{\tan \phi}{\tan \alpha}$$

At Slip $FOS = 1$

$$T_f = T$$

$$\mu = \tan \phi = \tan \alpha_f$$

$$\phi = \alpha_f$$

$(\alpha_f = \alpha \text{ when slips occurs})$

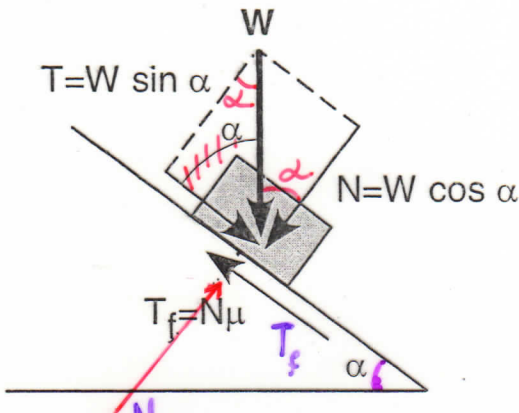


Figure 4. Free body diagram of the forces acting on a block

Therefore, by measuring α at which slip occurs, we can assess the coefficient of friction (μ) or $\tan \phi$ between the two surfaces by means of the following equation:

$$\mu = \tan \alpha_f$$

where α_f is the angle of inclination at first movement.

b) per le falle coincidenti col profilo del fondo.
 (ad es., sebbene un argilla NC sature un filtro, non è compatta). Perché $m = 1$,

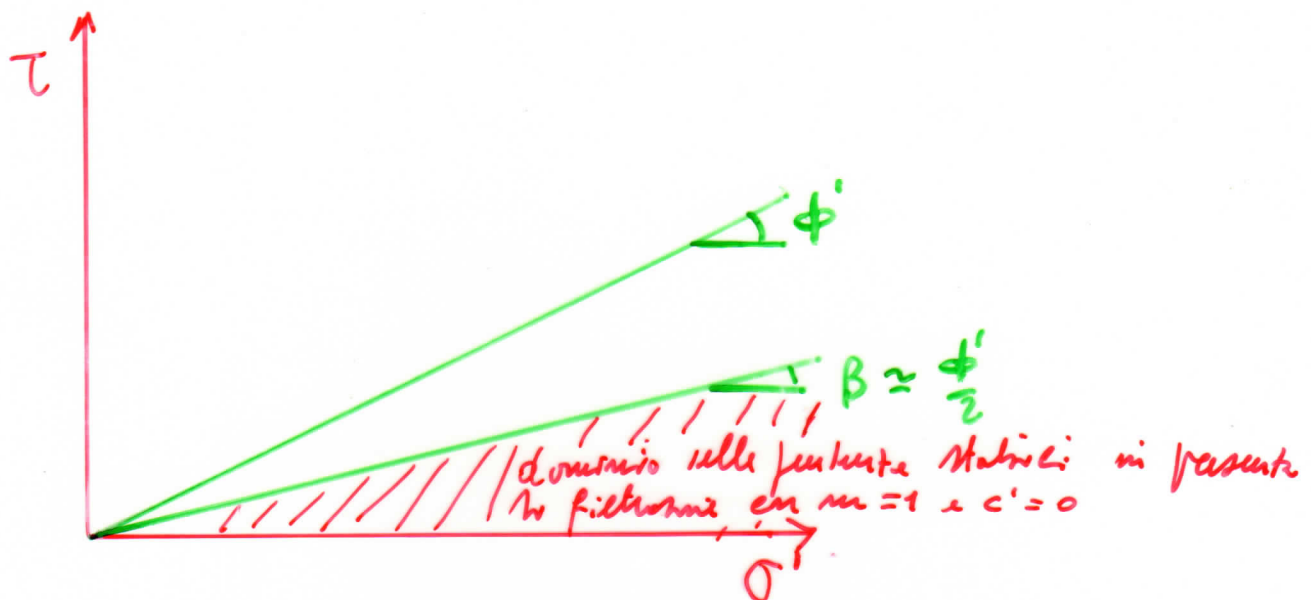
$$F = \frac{\gamma - \gamma_{so}}{\gamma} \frac{\tan \phi'}{\tan \beta} = \frac{\gamma}{\gamma} \frac{\tan \phi'}{\tan \beta} \quad (1)$$

Tipicamente il rapporto γ'/γ ha un valore nell'ordine di 0.5, per cui

$$F \approx \frac{1}{2} \frac{\tan \phi'}{\tan \beta}$$

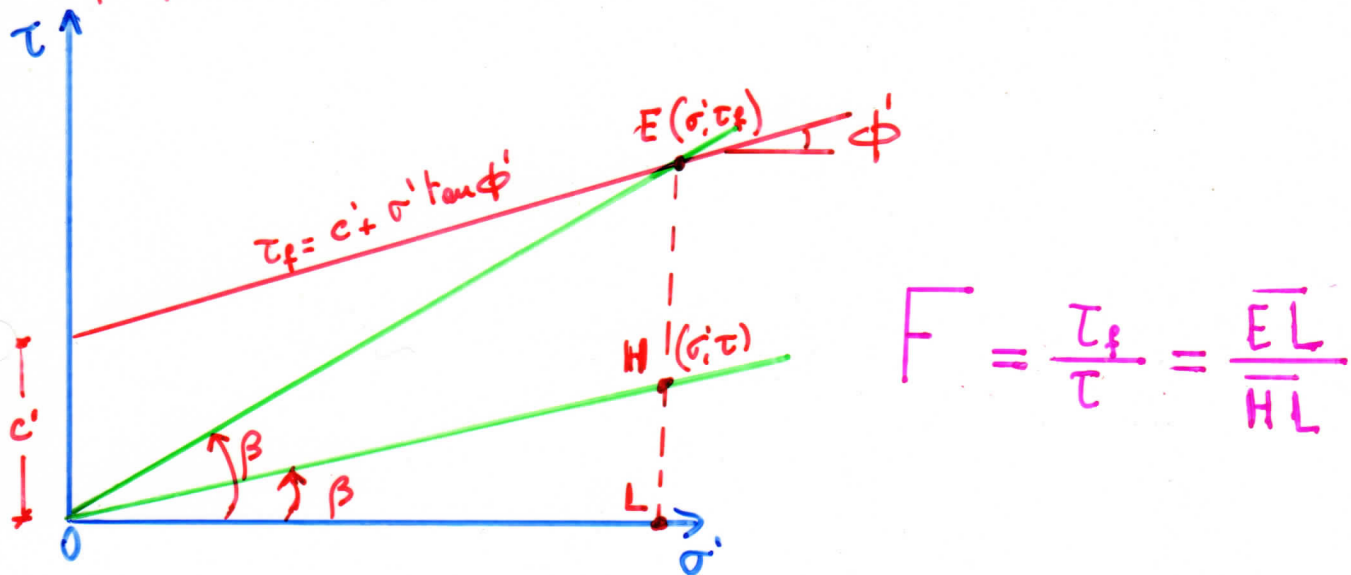
Se ϕ' è piccolo (ad es. in condizioni verdi) è facile esprimere la condizione limite ($F=1$) come

$$\beta \approx \frac{1}{2} \phi'$$



B) Tensione attrattiva e coesiva ($c' \neq 0$, $\phi' \neq 0$).

Come mostra l'eq. 8), il fattore di sicurezza di un pezzo in quest. teorema dipende sia da c' che dalla profondità z .



- $\beta < \phi' \Rightarrow$ lo stato di sollecitazione non diviene critico a messura di profondità
- $\beta > \phi' \Rightarrow$ l'inviluppo di retta viene intersecato nel punto E. Condizioni di equilibrio limite ($F=1$, $\tau_f=\tau$) alla profondità corrispondente a detto punto. Per profondità ancora maggiori, il pezzo non può essere stabile.

PERCIÒ, SE $\beta > \phi'$, SI HA STABILITÀ SOLO PER PROFONDITÀ LIMITATE E COMUNQUÈ INFERIORI AD UN CERTO VALORE z_c (PROFONDITÀ CRITICA).

La profondità critica si ottiene ponendo $F=1$ (cioè $\tau_f = \bar{\tau}$, punto E) nell'equazione

$$F = \frac{c' + (\gamma - m\gamma_w)z \cos^2 \beta \tan \phi'}{\gamma z \sin \beta \cos \beta} \quad 8')$$

da cui

$$z_c = z_c = \frac{c'}{[\gamma \sin \beta \cos \beta - (\gamma - m\gamma_w) \cos^2 \beta \tan \phi']} \quad 11)$$

$\therefore m = 0$,

$$z_c = \frac{c'}{\gamma} \frac{1}{\cos^2 \beta (\tan \beta - \tan \phi')}$$

$m = 1$,

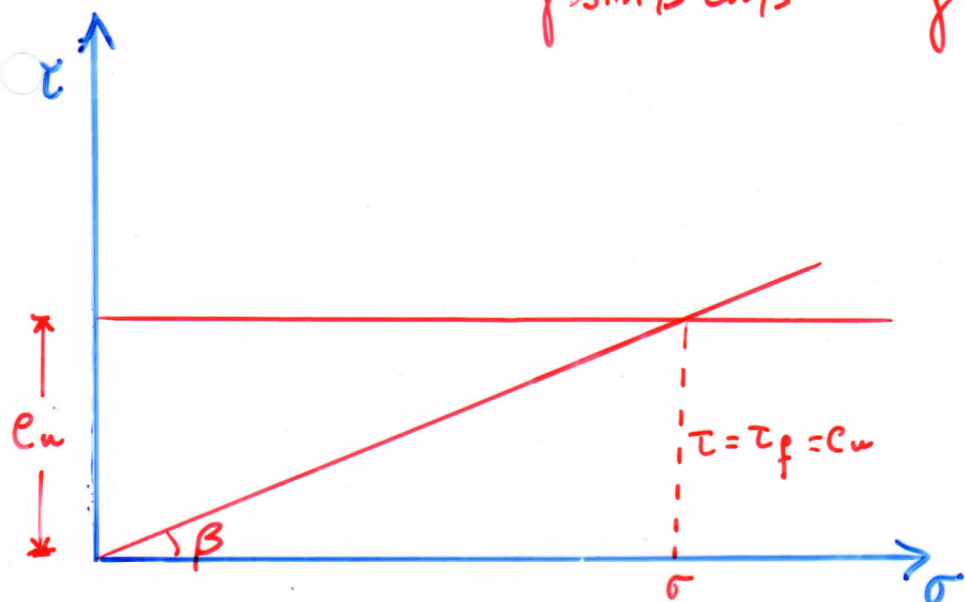
$$z_c = \frac{c'}{\cos^2 \beta (\gamma \tan \beta - \gamma' \tan \phi')}$$

Come già visto, nella condizione $\phi_u = 0$, si ha

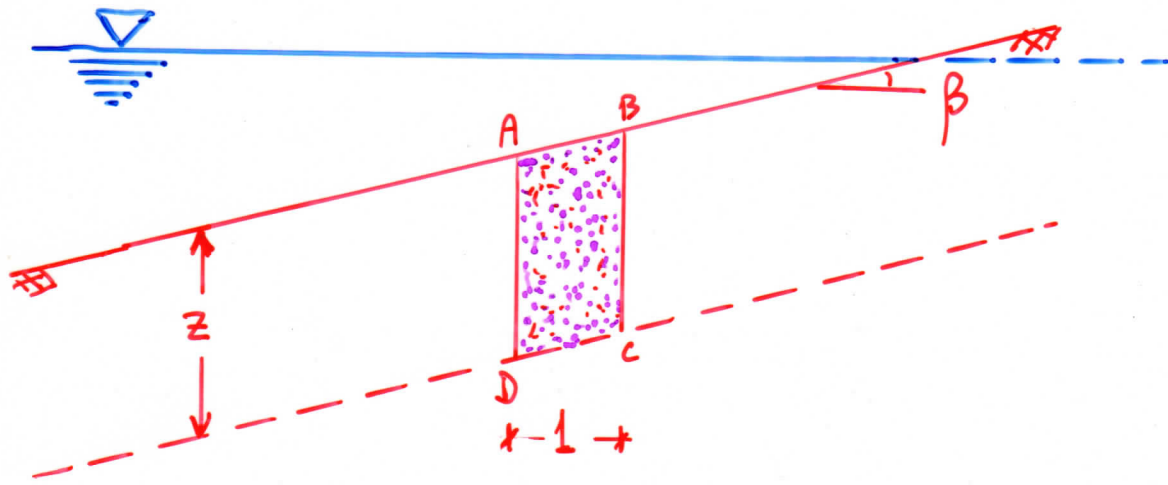
$$F = \frac{c_u}{\gamma z \sin \beta \cos \beta}$$

dai cui si ricava che il pendio è stabile per ogni pendenza $\tan \beta$ purché

$$z < z_c = \frac{c_u}{\gamma \sin \beta \cos \beta} = \frac{2 c_u}{\gamma \sin 2\beta}$$



TENDIO SOMMERSO



Se il pendio è completamente sommerso dunque non è sede di moto e filtrazione, per il principio di Archimede il peso effettivo del terreno ABCD è dato da:

$$W = 1 \cdot \gamma \cdot z - 1 \cdot \gamma_w \cdot z = \gamma' z$$

$$N' = \gamma' z \cos \beta, \quad T = \gamma' z \sin \beta$$

$$\sigma' = \gamma' z \cos^2 \beta, \quad \tau = \gamma' z \sin \beta \cos \beta$$

$$F = \frac{T_f}{T} = \frac{c' + \sigma' \tan \phi'}{\tau} = \frac{c'}{\gamma' z \sin \beta \cos \beta} + \frac{\tan \phi'}{\tan \beta}$$

Notare che, se $c' = 0$,

$$F = \frac{\tan \phi'}{\tan \beta}$$

(rif. Pendio Asciutto con $c' = 0$)

IL RAPPORTO DI PRESSIONE NEUTRA τ_u

I dati relativi alle pressioni neutre sulla superficie di scorrimento possono essere espressi implicitamente in termini di un parametro noto come rapporto della pressione neutra (poco pressione ratio) e definito da:

$$\tau_u = \frac{u}{\gamma z}$$

Questo parametro, introdotto in Bishop & Morgenstern (1960), è diventato di uso quasi universale nelle soluzioni per metodi di abacchi, ~~essendo~~ essendo un metodo compatto, sintetico e sufficientemente accurato di rappresentazione delle informazioni sulle pressioni neutre lungo una superficie di scorrimento.

Dalla definizione di τ_u deriva:

$$u = \tau_u \gamma z$$

Sì è già visto che, nel caso del piano infinito,

$$u = \gamma_w M z \cos^2 \beta \quad (0 \leq M \leq 1)$$

$$\tau_u = \frac{m \gamma_w \cos^2 \beta}{\gamma}, \quad m = \frac{\gamma \tau_u}{\gamma_w \cos^2 \beta}.$$

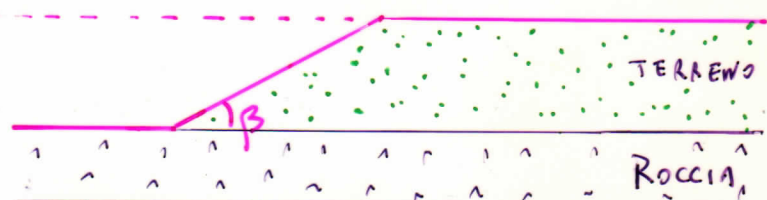
Quando $m=1$ (fondo al piano compatta),

$$\tau_u = \tau_{u \text{ Max}} = \frac{\gamma_w}{\gamma} \cos^2 \beta$$

Esempio n° 1

- Un lungo secco impinge lo spessore di uno strato di terreno ($\gamma = 19 \text{ kN/m}^3$, $c' = 0$, $\phi' = 36^\circ$) sovrastante ad uno strato lepidio. Si assuma che occasionalmente il livello di falda possa innalzarsi sino a coincidere col profilo del terreno, con filtrazione parallela al fondo.
- Assumendo che la potenziale superficie di scorrimento sia parallela al fondo, determinare l'angolo di fondo β massimo che garantisca un fattore di sicurezza $F = 1.5$.
 - Quale sarebbe il fattore di sicurezza del fondo in questo angolo di inclinazione se il livello di falda fosse al disotto del cuto-
terren-roccia?

Dati: $\gamma = 19 \text{ kN/m}^3$, $c' = 0$, $\phi' = 36^\circ$



- Per livello di falda al piano compagno, il fattore di sicurezza è dato dall'eq. 9), imponendovi $m = 1$:

$$F = \frac{(\gamma - \gamma_w)}{\gamma} \frac{\tan \phi'}{\tan \beta}$$

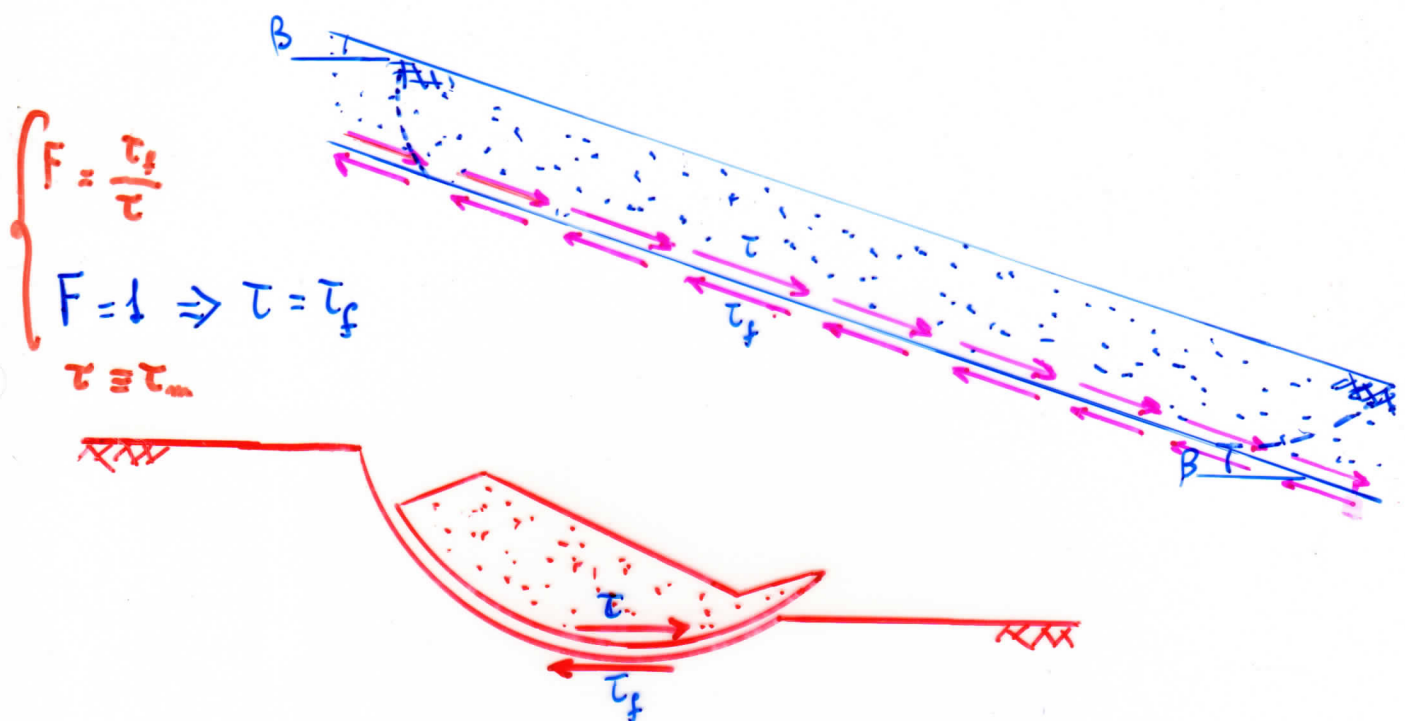
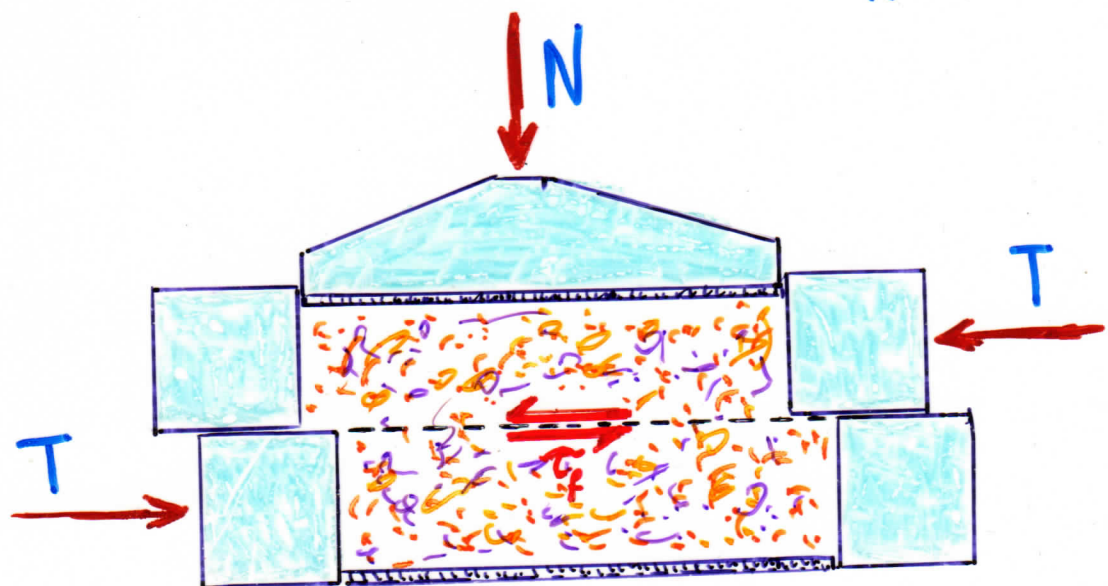
$$F = 1.5 \Rightarrow 1.5 = \frac{(19 - 9.8)}{19} \frac{\tan 36^\circ}{\tan \beta} \Rightarrow \tan \beta = 0.234$$

$$\therefore \beta = 13^\circ$$

- Per livello di falda più basso del cuto-terren-roccia, il fattore di sicurezza è dato dall'eq. 10) e cioè:

$$F = \frac{\tan \phi'}{\tan \beta} = \frac{\tan 36^\circ}{\tan 13^\circ} = 3.1$$

$$\sigma' = \frac{N}{A}, \tau = \frac{T}{A}$$



$$\tau_f = c + (\sigma \cdot u) \tan \phi'$$

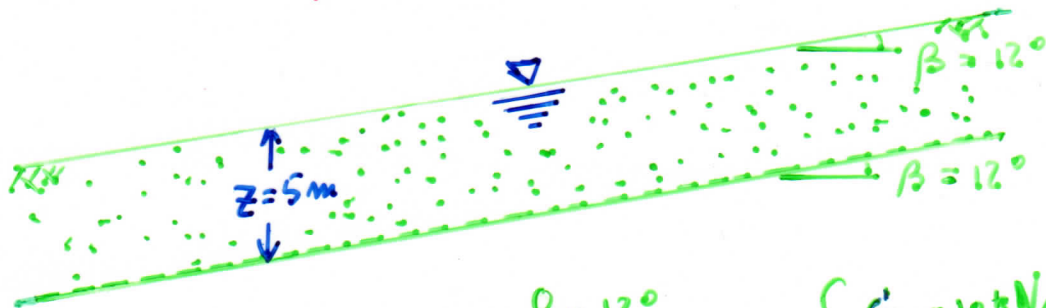
ESERCIZIO n. 1 bis

Un lungo pendio naturale in argilla sovraccaricata fermo è inclinato di $\beta = 12^\circ$ sull'orizzontale. Il piano di falda coincide col profilo del pendio e la falda superiore è, presumendo, parallela al pendio.

Su questo pendio si è verificato uno scorrimento trasversale lungo un piano parallelo alla superficie del pendio e profondo m 5. Il peso dell'unità di volume (saturo) nell'argilla è 20 kN/m^3 . I parametri di resistenza al taglio di picco e residua, determinati in laboratorio, sono risultati essere, rispettivamente,

$$c'_p = 10 \text{ kN/m}^2, \phi'_p = 26^\circ \text{ e } c'_R \approx 0, \phi'_R = 18^\circ.$$

Determinare il fattore di sicurezza del pendio.



$$\begin{aligned} \beta &= 12^\circ \\ \gamma &= \gamma_{sat} = 20 \text{ kN/m}^3 \end{aligned} \quad \left\{ \begin{array}{l} c'_p = 10 \text{ kN/m}^2 \\ \phi'_p = 26^\circ \end{array} \right. \quad \left\{ \begin{array}{l} c'_R \approx 0 \\ \phi'_R = 18^\circ \end{array} \right.$$

Essendo $m = 1$ (falda affiorante in superficie), vi opera punto del piano di scorrimento si ha:

- $G = \gamma z \cos^2 \beta = 95.5 \text{ kN/m}^2$
- $T = \gamma z \sin \beta \cos \beta = 20.3 \text{ kN/m}^2$
- $u = \gamma_w z \sin^2 \beta = 46.8 \text{ kN/m}^2$

a) PARAMETRI DI PICCO

$$F_p = \frac{T_f}{T} = \frac{c'_p + (G-u) \tan \phi'_p}{T} = \frac{33.8}{20.3} = 1.66 \quad (> 1, \text{ pendio stabile})$$

b) PARAMETRI RESIDUI

$$F_R = \frac{T_f}{T} = \frac{\gamma}{T} \frac{\tan \phi'_R}{\tan \beta} = \frac{10.2}{20} \cdot \frac{\tan 18^\circ}{\tan 12^\circ} = 0.78 \quad (< 1)$$

COMUNQUE, LA ROTTURA SI E' VERIFICATA E, QUANDO IL PENDIO SI E' MOSSO, $F=1$.
Cio' CONDUCE ALL'IDEA NELLA "BACK ANALYSIS"

$$F = \frac{\tau_f}{\tau} = 1 \Rightarrow \boxed{\tau_f = \tau}$$

oVero

$$\tau_f = c' + (\sigma - u) \tan \phi' = \tau$$

In cui, utilizzando i valori di σ , τ , u già noti (per $M=1$),

$$c' + 48.7 \tan \phi' = 20.3$$

L'equazione ottenuta presenta due incognite: si può ottenere il valore di uno dei parametri se l'altro è noto
o viene assunto.

Si assuma che sullo stesso lato frane si risulti trattarsi di una rottura o ripresa al massimo lungo una superficie di rottura resistente.
Esempio le condizioni di resistenza puelle risulta,

$$c' = c'_R = 0$$

$$\Rightarrow \tan \phi' = \frac{20.3}{48.7} = 0.42 \Rightarrow \phi' = 22.6^\circ$$

$\phi' = 22.6^\circ$ = Angolo di resistenza al taglio operativo in situ
(se sono sicuro che all'atto del fenomeno era $m=1$)

Questo angolo ^{globale} ricavato da una prova in scala 1:1 tiene conto degli effetti di: sterzamenti ed acciolkini del materiale, rotura progressiva e dipendenza dal tempo.

d) STABILIZZAZIONE DELLA FRANA (ad esempio, attraverso abbattimento della falda con trincee drenanti).

$$c' = 0 \Rightarrow F = \left(1 - m \frac{\gamma_w}{\gamma}\right) \frac{\tan \phi'}{\tan \beta}$$

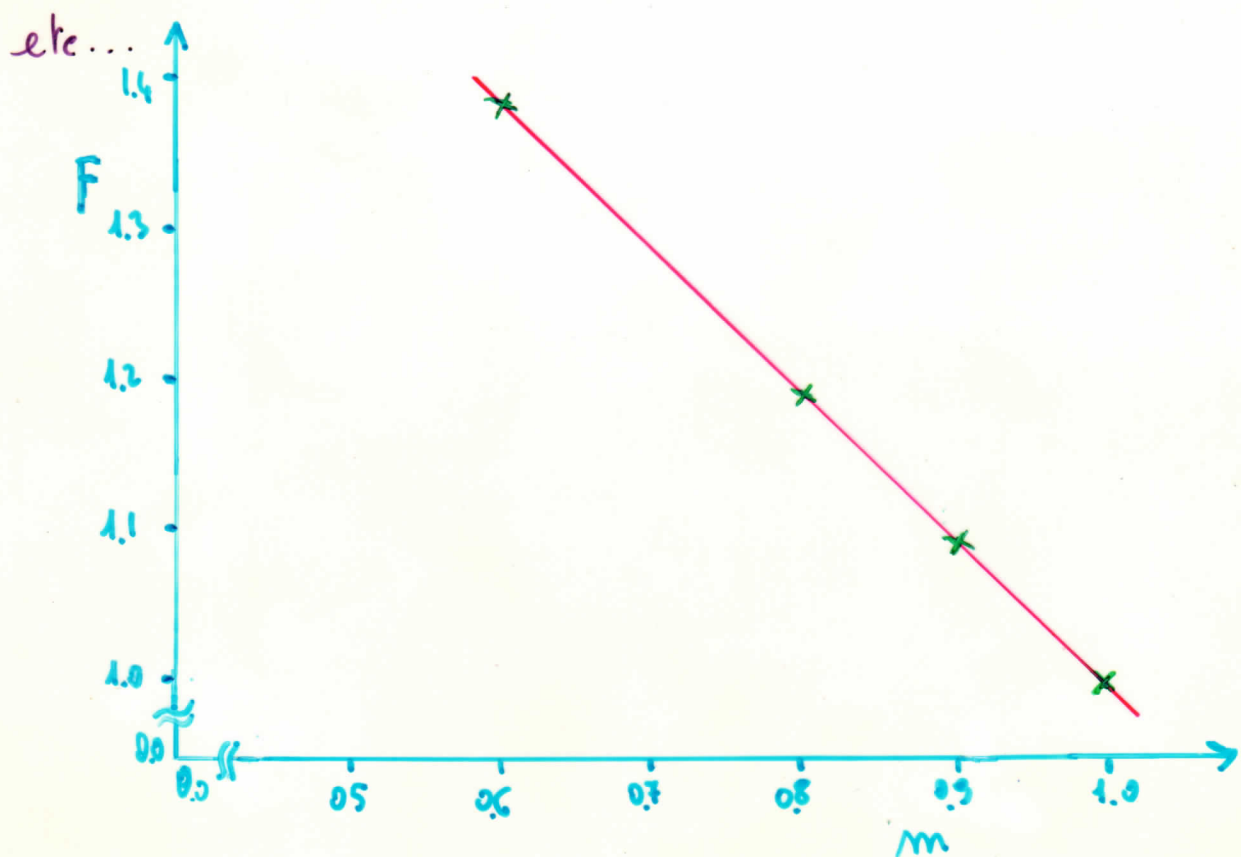
Nelle condizioni iniziali di equilibrio limite ($F=1$), la falda era al p.c.

Perciò $M=1 \Rightarrow F=1$

Abbattendo la falda di 0.5 m, ovvero realizzando $M=0.5 \Rightarrow F=1.05$

$\begin{matrix} u & u & 1 \text{ m} & u & u \\ u & u & 2 \text{ m} & u & u \end{matrix} M=0.8 \Rightarrow F=1.13$

$\begin{matrix} u & u & 2 \text{ m} & u & u \end{matrix} M=0.6 \Rightarrow F=1.38$

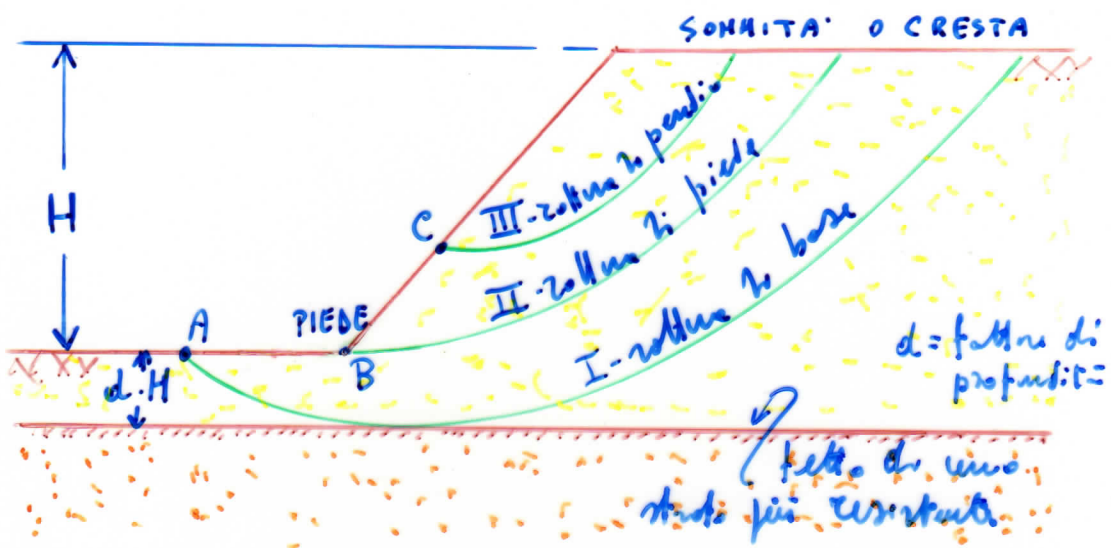


IL PENDIO FINITO

Il framamento di pendii con finiti in toccano esivo si manifesta, di solito, con superfici curve. La forma di queste più comunemente assunta nelle schematizzazioni del Caleolo è cilindrico-circolare⁽¹⁾ (e, in sezione, un arco di cerchio). Essa semplifica l'analisi di stabilità e non ha diserita di molto delle forme reali osservate in natura.

Le superfici circolari si sono dimostrate utili non solo nel caso dei torriani, ma vengono usate anche negli studi di stabilità in roccia tenere le cui proprietà meccaniche non siano dominate da caratteri strutturali e discontinuità.

Nei pendii in tocca ci sono tre forme fondamentali di crollatura: da base, da piede e da picchio.



Nel caso I la superficie di rotura interseca il terreno a qualche distanza oltre il piede (punto A).

(1) Quest'assunzione viene ritrovata da Pettersson e Huett in nel 1916.

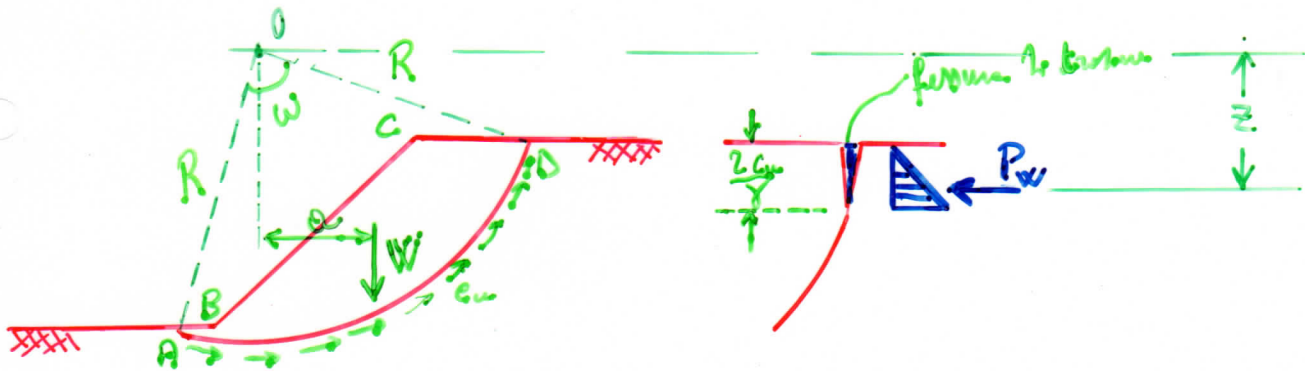
○ Nel secondo caso, il più frequente, essa passa per il piede (punto B), mentre nel caso di rottura il pendio essa interseca il pendio al disopra del suo piede.
Una rottura N base è indicativa di terreno relativamente poco resistente al dritto del pendio; se a piede profondità è presente uno strato più resistente, la superficie N rottura è spesso tangente al letto di quello strato.

ANALISI $\phi_u = 0$

Dovuta a Fellenius (1918), questa analisi in termini di sforzi totali è applicabile al caso di argille sotteranei costituiti da strati (stabilità di base fermezza o condizione di fine costruzione).

Il terreno viene assunto omogeneo al isotrop. e la superficie potassiale N rettilinea - concava.

Viene considerato un certo numero (terremonti: ∞^2) di cerchi - con differenti ^{eterni} cerchi e raggi - e se ne calcolano i relativi fatti N recessi. Il cerchio al quale appartiene il più basso valore del fatto N recessi è il cerchio critico.



$W = \rho_{\text{acq}} \cdot \text{per unità di spessore, della massa } ABCDA$

$S = R \cdot w = \text{lunghezza della superficie in contatto} = \overline{AD}$

$\tau_m = \text{resistenza necessaria per l'equilibrio limite}$

\Rightarrow $\text{Equilibrio della rotazione attorno ad } O :$

$$W \cdot a = \tau_m \cdot S \cdot R$$

$$\therefore \tau_m = \frac{W \cdot a}{S \cdot R}$$

Inoltre, essendo $\phi_u = 0$, $\tau_f \equiv c_u$. Da cui :

$$\tau_m = \frac{\tau_f}{F} = \frac{c_u}{F}$$

$$\therefore F = \frac{c_u}{\tau_m} = \frac{c_u \cdot S \cdot R}{W \cdot a} = \frac{c_u \cdot w \cdot R^2}{W \cdot a}$$

Questa relazione si ottiene anche definendo il fattore di incidenza come rapporto tra momenti resistenti ed agenti :

$$F = \frac{M_R}{M_A} = \frac{c_u \cdot S \cdot R}{W \cdot a} = \frac{c_u \cdot w \cdot R^2}{W \cdot a}$$

Come per altro, i necessari analitici più esatti al fine di determinare quello critico ($F = F_{\min}$).